

# PULMONER EMBOLİDE TANI YÖNTEMLERİ

\*Cüneyt AYRIK, \*Hasan ÇECE, \*\*\*Seyran BOZKURT, \*\*\*\*Başak BAYRAM

\* Yrd. Doç. Dr., Mersin Üniversitesi Tıp Fakültesi Acil Tıp Anabilim Dalı, İzmir.

\*\* Uzm. Dr., Dokuz Eylül Üniversitesi Tıp Fakültesi Radyoloji Anabilim Dalı, İzmir.

\*\*\*Uzm. Dr., Dokuz Eylül Üniversitesi Tıp Fakültesi Acil Tıp Anabilim Dalı, İzmir

\*\*\*\*Araştırma Görevlisi, Dokuz Eylül Üniversitesi Tıp Fakültesi Acil Tıp Anabilim Dalı, İzmir

## ÖZET

Pulmoner emboli (PE), semptomlarının spesifik olmaması nedeniyle, klinik olarak tanı konulması zor bir hastalıktır. Bu nedenle kesin sıklığı bilinmemektedir. Amerika Birleşik Devletleri'nde kalp hastalıkları ve kanserden sonra üçüncü en sık ölüm nedeni olup yıllık sıklığının 300.000-600.000 olduğu ve 50.000-100.000 civarında mortalitesi olduğu düşünülmektedir.

Göğüs ağrısı, dispne, takipne, taşikardi, öksürük, hemoptizi gibi sık rastlanan semptom ve fizik muayene bulguları sadece bu hastalığa özgü değildir. Tromboemboli tanısı için akciğer grafisi, ventilasyon perfüzyon sintigrafisi (V/P sintigrafisi), spiral bilgisayarlı tomografi pulmoner angiografi (SBTPA), manyetik rezonans angiografi, ekokardiografi, konvansiyonel pulmoner angiografi gibi bir çok görüntüleme yöntemi kullanılmaktadır.

Son yıllarda SBTPA PE tanısında önemli bir seçenek haline gelmiştir. Çeşitli çalışmalarda İnce kesit görüntülere olanak veren ve tetkik süresini kısaltan multi detektör bilgisayarlı tomografi pulmoner angiografi (MDBTPA), subsegmental pulmoner damarların daha iyi değerlendirilebilmesini sağlar.

**ANAHTAR KELİMELER:** Pulmoner emboli, tanı, spiral bilgisayarlı tomografi, ventilasyon perfüzyon sintigrafisi

## SUMMARY

Making a sure diagnosis of pulmonary embolism (PE) is difficult due to its nonspecific signs and symptoms, thus its actual prevalence remains unknown. In the USA, PE is the third most common cause of death, following cardiac diseases and cancer, with an annual incidence of up to 600,000 and a mortality of up to 100,000. Signs and symptoms such as chest pain, dyspnea, tachycardia, cough and hemoptysis are not specific to this entity.

In this article, the following modalities used in diagnosing pulmonary embolism are reviewed: chest radiographs, ventilation/perfusion scintigraphy, spiral computed tomography pulmonary angiography (SCTPA), MR angiography, echocardiography, and conventional pulmonary angiography. SCTPA has become a favorite imaging modality in diagnosing PE in the recent years. Multidetector row CT pulmonary angiography (MDCTPA) allows thin-slice imaging and shortens imaging times, while providing improved visualization of the subsegmental pulmonary vasculature.

**KEY WORDS:** pulmonary embolism, diagnosis, spiral computed tomography, ventilation-perfusion scintigraphy

## PULMONER EMBOLİDE TANI YÖNTEMLERİ DIAGNOSTIC TOOLS IN PULMONARY EMBOLISM

### GİRİŞ

Pulmoner emboli (PE), pihti veya pihtıların sistemik derin venlerden pulmoner vasküler yatağa göçünü ifade eden bir tablodur. PE, semptomlarının spesifik olmaması nedeniyle, klinik olarak tanı konulması zor bir hastalıktır. Bu nedenle kesin sıklığı bilinmemektedir. Amerika Birleşik Devletleri'nde kalp hastalıkları ve kanserden sonra üçüncü en sık ölüm nedeni olup yıllık sıklığının 300.000-600.000 olduğu ve 50.000-100.000 civarında mortalitesi olduğu düşünülmektedir<sup>(1,2)</sup>. Uygun antikoagulan tedavi ile %30'larda olan mortalite oranı %2-8'e kadar düşmektedir<sup>(1)</sup>.

Pulmoner embolili hastaların sadece %25-30'unda klinik olarak PE'den şüphelenilmektedir 3,4. Göğüs ağrısı, dispne, takipne, taşikardi, öksürük, hemoptizi gibi sık rastlanan semptom ve fizik muayene bulguları sadece bu hastalığa özgü değildir. Derin ven trombozu (DVT) klinik bulgularının eşlik ettiği hastalıkların çokluğu ve DVT bulgularının hastaların en fazla %50'sinde bulunabileceği göz önüne alındığında, özellikle submasif tromboembolilerde, sadece klinik bulguların kullanılmasının doğru tanı ve tedavi kararı için ciddi yanıklılara sebep olabileceği açıktır. Hipotansiyonun eşlik ettiği masif tromboemboli olgularının da, aorta disseksiyonu, perikard tamponadı ve myokard infarktüsü gibi hastalıklar ile benzerlik göstermesi tanıyı daha da güçlendirmektedir<sup>(5)</sup>.

Tromboemboli tanısı için akciğer grafisi, ventilasyon perfüzyon (V/P) sintigrafisi, Spiral bilgisayarlı tomografi pulmoner angiografi (SBTPA), manyetik rezonans angiografi, ekokardiografi, konvansiyonel pulmoner angiografi gibi bir çok görüntüleme yöntemi kullanılmaktadır. Günümüzde V/P sintigrafisi PE tanısında en çok uygulanan noninvaziv görüntüleme yöntemidir. PE klinik şüphesinin düşük olduğu durumlarda normal veya düşük olasılık sonuçlu sintigrafi yüksek oranda negatif prediktif değere sahiptir. Klinik şüphenin yüksek olduğu durumlarda ise yüksek olasılık sonucuna sahip sintigrafi yüksek oranda pozitif prediktif değere sahiptir. Ancak hastaların sadece %34'ü bu gruba girmektedir<sup>(6)</sup>.

Son yıllarda SBTPE PE tanısında önemli bir seçenek haline gelmiştir. Çeşitli çalışmalarda SBTPE'nin PE tanısında %60-100 duyarlılık ve %78-100 özgünlüğe sahip olduğu bildirilmektedir<sup>(7,8)</sup>. İnce kesit görüntü'lere olanak veren ve tetkik süresini kısaltan multi detektör bilgisayarlı tomografi pulmoner anjografi (MDBTPA), subsegmental pulmoner damarların daha iyi değerlendirilebilmesini sağlar<sup>(8)</sup>. MDBT teknolojisinde gelecekteki gelişmelerin tanışal doğruluğu artıracağı ve invaziv görüntüleme yöntemlerine ihtiyacın kalmayacağı umulmaktadır.

## TANI YÖNTEMLERİ

### Derin Ven Trombozu Tanısı

Pulmoner emboli gelişen hastaların % 50'sinden fazlasında derin ven trombozu (DVT) semptomları, dolayısıyla emboli kaynağı klinik olarak saptanamamaktadır<sup>(9)</sup>. İlgili alanda ağrı, duyarlılık, eritem, ısı artışı, gode bırakılan ödem, şişlik ve gastroknemius kasına ağrı veya ayağın dorsifleksiyonu ile gelişen baldır ağrısı olarak tanımlanan Homan's belirtisi gibi klinik semptom ve belirtiler DVT gelişen olguların % 50'sinden azında bulunurlar. Aynı zamanda bu bulguların duyarlılığı ve özgünlüğü düşük olup, bacak travması, selülit, obstrüktif lenfadenopati, yüzeyel ven trombozu ve postflebitik sendrom gibi başka hastalık süreçleri sonunda da görülebilirlər.

DVT'undan kuşkulanan hastanın rutin fizik muayenesi, bacagın dikkatli bir inspeksiyonu, bacak çevresinin ölçülmesi ve diz fleksiyon durumundayken ayak bileğinin ani ve kuvvetli dorsifleksyonunun baldırda ya da popliteal bölgede ağrıya yol açması olarak tanımlanan Homan's belirtisinin aranması şeklinde yapılır. Diğer semptom ve belirtilerin varlığı gözlenir.

Diğer birçok tekniğin varlığına rağmen, DVT incelemesinde günümüzde pratik olarak en sık kullanılan yöntem, venöz ultrasonografidir. Pulmoner emboli şüpheli hastalarda derin ven trombozu incelemeleri, özellikle V/P sintigrafisi düşük-orta olasılıklı sonuçlandığında veya bu olasılığın yüksek olduğu alta yatan kronik kardiyo-pulmoner hastalıkların varlığında emboli şüphesi var ise mutlaka yapılmalıdır. Gelişmiş ultrason teknikleri (kompresyon ultrasonografisi, renkli doppler ultrasonografı gibi) özellikle semptomatik olan proksimal DVT'lu olgularda yüksek duyarlılık (%91) ve özgünlüğe (%99) sahiptir<sup>10</sup>. Asemptomatik yüksek riskli hastalarda venöz ultrasonografının duyarlılığı belirgin şekilde (%35-40) azalır<sup>(11)</sup>. Izole baldır ven trombozlarında ise duyarlılığı % 30-40 arasındadır<sup>(10)</sup>. Baldır trombozu şüphesi bulunan semptomatik hastalarda seri ultrasonografik incelemeler yapılmalıdır. Manyetik rezonans görüntüleme (MRG) yöntemi, ultrasonografik incelemenin negatif sonuç verdiği pelvik, iliak, kaval ve baldır trombozlarının tanısında son yıllarda başarı ile kullanılan bir yöntemdir<sup>(12)</sup>.

DVT tanısında altın standart inceleme, asendan kontrast venografidir. Yöntemin pahalı ve invazif bir işlem oluşu, her an ulaşılaması, kullanılan kontrast maddelere karşı allerjik reaksiyonlar oluşabilmesi veya flebit gelişmesi, tecrübeli yorumlayıcılara ihtiyaç duyulması ve özellikle damarda tam tikanmaya neden olan masif

trombuslarda tanı hatalarına neden olması sonucu, günümüzde ancak yüksek DVT şüphesine karşı ultrasonografi ile negatif sonuç alınan hastalarda kullanılmaktadır.

### D-Dimer

Serumda fibrin yıkım ürünleri (D-dimer) konsantrasyonu, özellikle ELISA yöntemi ile ölçüldüğünde duyarlılığı yüksek, fakat spesifik olmayan bir testtir. Negatif sonuç, venöz tromboembolizmi % 95'lere ulaşan oranlarda ekarte edebilmektedir<sup>(13,14)</sup>. Latex D-Dimer testi ise daha çok taramalar için kullanılmalı ve yüksek bulunması halinde pulmoner emboli ekarte etmek için D-Dimer ELISA testi uygulanmalıdır. Bu test cerrahi, travma, renal patoloji, Sistemik Lupus Eritematozus gibi bir çok durumda pozitif bulunabildiğinden, venöz trombemboli için tanı koymak olamaz.

Yatak başında pulmoner embolizmin dışlanması için yapılan prospektif bir çalışmada pulmoner embolizm şüphesi ile acil servise başvuran 930 hastada basit bir klinik model ve D-Dimer testi birlikte kullanıldı<sup>(15)</sup>. Düşük klinik olasılığı ve negatif D-dimer sonuçlu 437 hastanın yalnızca 1'inde takip sırasında pulmoner emboli gelişti. Böylece, bu hastalarda D-dimer testi ile klinik modelin kombiné kullanımının negatif prediktif değeri % 99.5 olarak bulundu<sup>(15)</sup>. Başka bir çalışmaya göre negatif bir SimpliRED D-Dimer sonucu ile Wells ve arkadaşlarının geliştirdiği basit bir klinik modelin kullanılması ile pulmoner embolizm şüpheli hastaların büyük bir kısmının güvenle dışlanabilecegi bildirilmektedir<sup>(16)</sup>.

### Elektrokardiyografi

PE'de en sık rastlanan EKG bulguları nonspesifik ST-T dalga değişiklikleridir. Sağ ventrikül yüklenme bulguları ile birlikte S1Q3T3 paterni masif emboliler dışında sık görülmez. Atrial aritmiler sıkça görülürler. EKG bulguları, pulmoner embolizm tanısı için nonspesifik bulgulardır ve esas olarak akut myokard infarktüsü ve perikardit gibi hastalıkların ekarte edilmesinde yararlıdır.

### Arteriyel Kan Gazı

PE olgularında düşük PaO<sub>2</sub> ve normal veya düşük PaCO<sub>2</sub> değerleri saptanır. Hastaların % 10-25'inde arter kan gazları normal bulunmaktadır<sup>(17)</sup>. Arter kan gazlarında benzer değişikliği yapan birçok akciğer patolojisi de göz önüne alındığında, bu ölçümlerin hastalığın kesin tanısında veya ekarte edilmesinde yararı olmadığı ortadadır. Ancak başka bulguların varlığında, tanıyı destekleyici olarak kullanırlar. Buna rağmen nedeni açıklanamayan hipoksemi ve normo/hipokapni saptandığında pulmoner emboli yönünden daha ileri araştırmalar yapılmalıdır. Arteriyel kan gazi ayrıca pulmoner embolinin şiddetini belirlemeye ve tedaviye olan cevabı izlemek içinde yararlıdır.

### Ekokardiyografi

Ekokardiyografi, pulmoner emboli takib eden dönemde gelişen sağ ventrikül yüklenmesini hızlı, pratik ve yüksek duyarlılıkta saptayan bir yöntemdir. Masif ve masife yakın emboli kliniği bulunan olgularda ekokardiyografi ile sağ ventriküler dilatasyon ve

hipokinezisi, pulmoner arter genişlemesi, triküspit regürjitasyonu (pulmoner arter basincının ölçülmesini sağlar), abnormal septal hareket ve inspirasyonda inferior vena kava kollaps yokluğu gibi bulgular saptanabilir. Aynı zamanda aort diseksiyonu, myokard infarktüsü ve perikard tamponadı gibi masif emboliyi taklit edebilecek olan patolojilerin ayırcı tanısında da büyük yarar sağlar<sup>(18)</sup>. Pulmoner emboliye bağlı pulmoner hipertansiyon gelişen olguların % 90 'ından fazlasında sağ ventriküler dilatasyon ve % 81 oranında sağ ventrikül duvarında asinerji saptanmıştır<sup>(19)</sup>. Kronik olarak pulmoner hipertansiyona neden olan durumlarda ve ekokardiyografide sağ ventriküler hipokinez ya da dilatasyona neden olabilen sağ ventriküler infarktüs, kardiyomyopati ve sağ ventriküler displazi durumlarda triküspit yetersizliğinin velocitiesi akut pulmoner embolidekinden daha düşük olmaktadır. Ekokardiyografi bu durumlarda bile güvenilirliğini korumaktadır<sup>(20)</sup>. Sağ ventrikül fonksiyonu bozuk bulunan pulmoner embolili hastalar, normal bulunan hastalarla karşılaşıldığında прогнозun daha kötü, ölüm oranının daha fazla olduğu görülmüştür. Bu nedenle son yıllarda PE olgularında ekokardiyografik inceleme risk ve прогноз belirlemede çok yararlı bir yöntem haline gelmiştir.

Transözofageal ekokardiyografi sağ kalb ve ana pulmoner arterlerdeki büyük pihtıları ve tikanmaları transtorasik ekokardiyografİYE göre çok daha iyi şekilde gösterebilmektedir. Bu nedenle acil servisler ve yoğun bakım ünitelerinde masif ve masife yakın pulmoner emboli kliniği bulunan hastaların santral embolilerinin saptanmasında, özellikle trombolitik tedaviye karar verilmesinde ve hipotansif tablolara neden olabilen diğer patolojilerin ayırcı tanısında son yillardaki kullanımı giderek artmaktadır<sup>(18,20)</sup>.

### V/P Sintigrafisi

V/P sintigrafisinin bazı yetersizliklerine rağmen, PE tanısı için kullanılan ana incelemeydir. Perfüzyon sintigrafisi, pulmoner arterlerdeki perfüzyon defektlerini saptamada duyarlı fakat özgül olmayan bir testtir. Amfizem, bronşektazi, akciğer absesi, pnömoni, fibrozis, bronş obstrüksiyonu (malignite vs), plörezi, pnömotoraks, yüksek diafragma ve pulmoner damar problemleri, sintigrafide perfüzyon defektlerine neden olabilir. Bu durumlarda ventilasyon sintigrafisi, akut PE dışında perfüzyon defektlerine neden olabilen, ventile olmayan anormal akciğer sahalarını göstererek perfüzyon sintigrafisinin spesifitesini arttırmır<sup>(21)</sup>.

Ventilasyon sintigrafisinin çekilemediği durumlarda ancak: perfüzyon sintigrafisinde multipl segmenter perfüzyon defektlerinin bulunması ya da perfüzyon sintigrafisinin normal (veya normale yakın) bulunması durumlarda tek başına perfüzyon sintigrafisi ile karar verilebilir. Perfüzyon sintigrafisi normal ise (sintigrafide perfüzyon defekti yok ise), bu sonuç tek başına %95-98'e varan oranlarda pulmoner emboli olasılığını ekarte eder. Ventilasyon sintigrafisi olanlığının bulunmadığı durumlarda perfüzyon sintigrafisi yapılarak, yeni çekilmiş bir akciğer grafisi ile birlikte değerlendirilmesi daha yararlı olur. Ama akciğer grafisinin hiç bir zaman ventilasyon sintigrafisinin yerini tutamayacağı unutulmamalıdır. Pulmoner emboli düşünülen hastada noninvazif bir test olan V/P sintigrafisi mutlaka ilk 24 saat içinde istenmelidir. Gecikme durumunda V/P sintigrafisi bazı hastalarda çok kısa süre içinde, hastaların yarısına yakın bölümünde de bir hafta içinde normale dönüşebilir ve pulmoner embolinin varlığına rağmen yanlış negatif sonuç alınabilir<sup>(22)</sup>. V/P sintigrafileri; defektlerin büyülüğu, sayısı, ventilasyon (veya akciğer grafisi) ve perfüzyon sintigrafileri arasındaki ilişki gibi kriterler göz önüne alınarak: düşük, orta, yüksek olasılıklı ve normal olarak rapor edilirler<sup>(23)</sup>. Örneğin, iki ya da daha fazla segmenter perfüzyon defekti olması ve bu defektlerin bulunduğu alanların, ventilasyon sintigrafisinde veya akciğer grafisinde normal bulunması; ya da ventilasyon sintigrafisinde saptanan defekt alanlarından (PA grafideki opasiteden) büyük olması durumunda yüksek olasılıktan söz edilir. Birbiriyle uyumlu segmenter ventilasyon ve perfüzyon defektlerinin bulunması ya da defektlerin subsegmenter düzeyde olması düşük olasılıklı sintigrafi sonucuna örnek oluşturur. Yüksek ve düşük olasılıklı grubu konulamayan kriterleri taşıyan hastalar sintigrafik olarak orta olasılıklı olarak değerlendirilirler. V/P sintigrafileri günümüzde radyoizotop laboratuvarlarında yukarıda verilen örneklerde göre çok daha duyarlı hale getirilmiş kriterlere göre değerlendirilmektedirler.

V/P sintigrafisi pulmoner emboli tanısı için ne kadar yardımcı olur ?. Bu soruya en doğru cevabı PIOPED (Prospective Investigation of Pulmonary Embolism Diagnosis) çalışması vermiştir<sup>(23)</sup>. PIOPED, anjiografi ile pulmoner embolisi kanıtlanmış 251 hastada V/P sintigrafisi ve klinik skorlama ile hangi oranlarda doğru tanı konulabildiği konusunda yapılmış önemli bir prospektif çalışmadır.

Sintigrafik olasılık	Yüksek	Klinik olasılık Orta	Düşük
Yüksek	96	88	56
Orta	66	28	16
Düşük	40	16	4

**Tablo 1.** Sintigrafik ve klinik olasılıklar birlikte gözönüne alındığında pulmoner embolizm olasılığı (anjiografi ile kanıtlanmış olgularda, PIOPED\* Çalışması)<sup>23</sup>

- Bu çalışmada V/P sintigrafisi yüksek olasılıklı sonuçlanan hastaların %87'sinin, orta olasılıklı sonuçlanan hastaların % 32'sinin, düşük olasılıklı sonuçlanan hastaların % 16'sının ve sintigrafi sonucu normale yakın bulunanların % 6'sının pulmoner emboli olduğu anjiografi ile kanıtlanmıştır.
- Bu hastalardan ancak % 41 'inde yüksek olasılıklı V/P sintigrafi sonucu elde edilmiştir. Dolayısıyla hastaların % 51 'i orta-düşük olasılıklı grupta olup sadece sintigrafik değerlendirme ile önemli tanı problemi yaşamaktadır.
- V/P skorlamasının yanına klinik skorlama da eklendiğinde doğru tanı ve uygun tedavi şansı daha da artmaktadır. Tablo IV 'de görüldüğü gibi yüksek sintigrafik ve klinik olasılık bulunan hastalarda pulmoner anjiografi ile % 96 oranında PE saptanmıştır. Buna karşılık düşük sintigrafik ve klinik olasılık pulmoner tromboembolizm bulunan hastalarda ise bu oran % 4 bulunmuştur. Yüksek klinik şüpheye rağmen düşük sintigrafik olasılık saptanan hastalarda PE oranı ancak % 40'tır. Dolayısıyla PIOPED çalışmasının sonuçları, klinik ve sintigrafik yaklaşım ile doğru karar verilmesi bakımından çok yararlı olmuştur.

### Akciğer Grafisi

Akciğer grafisi PE tanısında çok fazla yarar sağlamaz. Akciğer grafisinde en sık; fokal infiltrat, segmenter-subsegmenter kollaps (plate ateletazi), yüksek diafragma ve plevral efüzyon ya da bunların kombinasyonlarından biri görülür. Benzer bulgular pnömoni, akciğer malignitelerinde, plöritis ve konjestif kalp yetersizliğinde de görülebilir. Bu nedenle akciğer grafisi bulguları nonspesifikdir.

Radyolojik bulgular embolik sahanın genişliğine, daha önceden kronik kardiyopulmoner hastalık bulunup bulunmadığına ve infarktüs gelişip gelişmemesine bağlı olarak değişir. Infarktüse bağlı keskin sınırlı ve tabanını plevraya dayamış opasite görülmeye sıklığı azdır. Büyük embolilerde ilgili alandaki hipoperfüzyona bağlı olarak grafide vaskülerite azalması ve buna bağlı hiperlüsensi (daha siyah akciğer) gözlenebilir. Santral pulmoner arterlerin masif tikanmalarında aynı tarafta hiperlüsensi ile birlikte etkilenmeyen karşı taraf pulmoner arterlerinde genişleme, sağ ventrikül ve atriumda genişleme görülebilir. Bazen etkilenen taraftaki pulmoner arter, pihtının sınırına uygun olarak aniden düzgün bir hat ile kesintiye uğrar. Pulmoner emboli olgularının yaklaşık % 40'ında akciğer grafisi normaldir. Akut hipoksemî ile karımıza gelen ve obstrüksiyon saptanmayan bir hastada akciğer grafisi normal bulunduğuunda, ilk olarak pulmoner emboli olasılığı düşünülmelidir.

### Spiral Bilgisayarlı Tomografi

PE tanısında BT'nin potansiyel rolünü belirlemek için ilk çalışmalar konvansiyonel BT cihazları ile yapılmıştır. Konvansiyonel BT'de kesit süresinin ve inceleme zamanının uzun olması, kardiak ve solunum artefaktlarına yol açmaktadır, pulmoner arterler maksimum kontrastlanma esnasında görüntülenmemektedir. Konvansiyonel BT ile sadece ana veya interlobär arterlerdeki büyük emboliler tespit edilebilmektedir.

Spiral BT kullanılmaya başlandığı günden itibaren, özellikle ekipman ve teknigin geliştirilmesiyle PE tanısında en popüler görüntüleme yöntemi olmuştur. Spiral BT ile toraks incelemeleri bir nefes tutma süresinde tamamlanabilmekte, pulmoner arterler maksimum kontrastlanma anında görüntülenebilmektedir.

### Spiral BT'nin Üstünlükleri

Spiral BT özellikle kontrast madde enjeksiyonu zamanlamasının önemli olduğu ve barsak peristaltizmine, pulsasyona, solunuma bağlı artefaktların yoğun bir şekilde görüldüğü toraks ve abdomen incelemelerinde görüntü kalitesinin belirgin derecede artmasını sağlamıştır<sup>(24)</sup>. Objenin taranması sırasında spiral bir hareketle devamlı surette kesit alındığından tetkik süresi kısaltılmış, alınan kesitlerin önceki ve sonrakilerle bütünlüğü temin edilmiştir<sup>(25)</sup>. Tetkik süresinin kısaltılmış olması özellikle toraks ve batın incelemelerinde büyük önem taşımaktadır. Tek bir nefes tutmada hacimsel bir tarama yapılarak kesitler istenilen sayı ve kalınlıkta elde edilmekte bu da solunum artefaktının ortadan kalkmasını sağlamaktadır<sup>(24)</sup>. Çekim tekniği sayesinde arada taranmamış alan bırakılmadığından solunum hareketlerinden etkilenen organlardaki küçük fokal lezyonlann (metastatik nodul gibi) saptanma şansı yükselmiştir<sup>(25)</sup>. Spiral BT'de farklı planlarda elde edilen rekonstrükte görüntülerde kenar keskinliği rutinde kullanılan BT'lere göre daha fazladır. İstenilen düzlemede görüntü oluşturulabilmesi lezyonun saptanabilirliğini artırmaktadır. Parsiyel volüm etkisinin azaltılmış olması ile lezyonun dansitesi daha iyi belirlenebilir<sup>(24)</sup>. İnceleme süresinin oldukça kısa olması nedeniyle, spiral BT ile arteriyel ve venöz yapılara yönelik BT anjiografi çalışmaları da konvansiyonel BT'ye göre çok daha üstün bir şekilde gerçekleştirilebilmektedir. Bu sayede hasta açısından girişimsel anjiografik uygulama endikasyonları bir miktar da olsa azaltılmıştır. Daha önce yapılmış çalışmalarla spiral BT'nin negatif prediktif olasılığı %95-100 arasında değişmektedir<sup>(26,27)</sup>. Lomis ve arkadaşları PE açısından negatif olarak değerlendirilen tek detektörlü BT pulmoner anjiografili 100 hastayı 6 ay takip ettiler. Bu çalışmada tekrarlayan PE'ye rastlanmadı<sup>(26)</sup>. Bourriot ve arkadaşları, kardiyoloji ve göğüs hastalıkları servislerindeki yüksek riskli hastaları değerlendirmişler ve minimum 6 aylık takip ardından PE prevalansını %1.8-4.9 olarak bulmuşlardır<sup>(27)</sup>. Ayrıca spiral BT kullanılan kontrast madde miktarında azalma sağlamış ve dinamik çalışmalara imkan sağlamıştır.

### SBTPA'da Pulmoner Emboli Bulguları

Akut PE tanısı pulmoner arter içerisinde santral veya periferik yerleşimli kontrast madde ile çevrelenmiş düşük dansiteli alan görülmesi veya arter içerisindeki kontrast maddenin aniden sonlanması ile konur<sup>(28,29)</sup>. Akut PE'nin parankimal bulguları oligemi, akciğerde hacim kaybı ve kama şeklinde plevra tabanlı opasitedir. En sık görülen parankimal bulgu plevra tabanlı opasitedir<sup>(30)</sup>.

Kronik emboli tanısı ise, arter içerisinde mural veya ekzantrik düşük dansiteli yapı, tren rayı görünümü (tromboembolik pihti içerisindeki açık lümene ait görünüm), arter çapında %50'den fazla daralma, arteriyel stenoz ve intraluminal web görülmesi ile konur

(31,32). Ayrıca parankim kesitlerinde mozaik perfuzyon ve infarkta ait plevra tabanlı üçgen şeklinde hiperdens alanlar pulmoner emboli tanısını desteklemektedir(33,34).

### **Multi Detektör Bilgisayarlı Tomografi**

Multidetektör BT (MDBT) şu anda BT teknolojisinde ulaşılan son noktadır. MDBT sistemlerinde uygulanan çekim prensipleri esasen Spiral BT'den farklı değildir. MDBT'nin avantajı hastanın longitudinal aks boyunca (z-ekseni) iki veya daha çok sayıda detektör dizileri ile donatılmış olması, X-ışın kolimasyonunun genişletilebilmesi ve bunların sonucunda masa hızının artırılabilmesidir. X-ışın tüpü ve detektör hasta etrafında 360° birbirleri ile senkronize dönüş yaparlar. Bu dönüş ve veri elde edilişi spiral BT'deki gibi devamlı ve volümétriktir.

Spiral BT'lerde gantry rotasyon zamanının 1 sn ve altına indirilmesi MDBT'nin geliştirilmesinde önemli bir basamak olmuştur. Bugün MDBT'lerde gantry rotasyon süresi 0.5 saniye düzeyindedir. Rotasyon süresindeki bu kısalma hastadan kaynaklanan istemli ya da istemsiz (kalp, barsak vb) hareket artefaktları minimuma indirgenmiş ve aynı zamanda daha geniş bir hacmin taranma şansını yaratmıştır. Bütün bunların yanında longitudinal çözünürlüğü de arttırmıştır. Ancak bu kısa zamanlı ve süreklilik gösteren dönüşler X-ışın tüpü üzerinde belirgin merkezkaç kuvvet artışı oluşturmaktadır. Bu durum gantrynin yeniden dizayn edilmesini gerektirmiştir. Ayrıca azalan rotasyon zamanı gerekli X-ışın miktarında artışa, bunun sonucu olarak da tüp soğuma kapasitesinin artırılması gereğini doğurmuştur.

Rotasyon zamanının kısaltması ile birlikte detektör teknolojisindeki gelişmelere bağlı olarak elde edilen çok sayıdaki analog (data) verilerin dijital verilere dönüştürülmesinde kullanılan DAS (data acquisition system) sayısında artışa neden olmuştur. MDBT cihazları ile inceleme süresi ve kesit kalınlığında azalma, incelenebilecek alan uzunluğunun artması, sistem performansını muazzam biçimde arttırmıştır. 1990'lı yılların başında iki detektörlü, 2000'li yıllarda(8,12,16,24,32) detektör dizili cihazlar üretilmiştir.

### **MDBT Kullanım Avantajları**

En önemli avantajı tarama hızındaki artıştır. Tarama hızındaki artış gantry rotasyon süresinin kısaltmasına ve pitch faktörünün artmasına bağlıdır. 4 kanallı MDBT cihazı konvansiyonel spiral BT cihazına göre 4-8 kat hızlı tarama yapabilmektedir. Bu düzeye artan tarama zamanı daha geniş hacimlerin daha kısa sürede incelenmesine neden olmaktadır. Buna bağlı olarak rutin incelemelerin süresi kısaltılmıştır. Toraks ya da abdomen incelemeleri tek bir nefes tutulması süresinde tamamlanabilmektedir (5-9 sn). Nefes tutamamaktan kaynaklanan artefaktlar bertaraf edilmiştir. Tarama hızında artış BT anjiografi incelemelerinde kullanılan total kontrast madde miktarında azalmaya yol açmıştır. Bu incelemelerde uygulanan artmış enjeksiyon hızı ve iyot konsantrasyonu yüksek kontrast madde kullanımını, vücuda giren total iyot miktarını artırabilir.

Tarama hızında artış ile birlikte geniş hacimlerin taranabilmesi özellikle BT anjiografi incelemelerinde çağrı açmıştır. BT anjiografi ile aorta ile birlikte pulmoner arterler, alt ekstremiteler arterleri, torakoabdominal aorta, arkus aortadan intraserebral sirkülasyona kadar olan karotid arterler kesintisiz olarak incelenebilmektedir. Aynı zamanda aort anevrizma ve diseksiyonları, ekstremiteler arterlerinde stenozlar, renal arter patolojileri, mezenter iskemiler, karaciğer transplantasyonları öncesinde hepatik arteriel, hepatik ve portal venöz anatominin değerlendirilmesi olanaklıdır. İnce kesit alınabilmesi, istege bağlı görüntü planının değiştirilmesine, multiplanar reformasyona ve üç boyutlu görüntülerin optimal görüntü kalitesiyle elde edilmesine olanak sağlar.

Artmış tarama hızının solunum ve barsak hareketlerinden kaynaklanan artefakları bertaraf etmesiyle birlikte yüksek uzaysal rezolusyonla geniş volümelerin taranabilmesi sanal endoskop uygulamalarının temelini oluşturur.

MDBT teknolojisi koroner arterlerde stenoz varlığının belirlenmesinde, plakların görüntülenmesi, myokardiyal perfüzyonun değerlendirilmesinde noninvaziv bir yöntem olarak umut vericidir.

Akut inmeli hastalarda rutin BT incelemelerinde patolojinin belirlenemediği ilk 6 saatlik dönemde MDBT teknolojisi software desteği ile serebral kan akımı, serebral kan volümü ve ortalama geçiş zamanı değerlendirilerek peyin perfüzyonunun değerlendirilmesi olanaklı hale gelmiştir(25). PE'nin değerlendirilmesinde MDBTPA'nın etkinliği ve tek detektörlü spiral BT'ye üstünlüğünü gösteren az sayıda çalışma bulunmaktadır. Remy-Jardin ve arkadaşları çalışmalarında MDBTPA ve tek detektör spiral BT pulmoner anjiografiyi karşılaştırmışlardır(35). MDBTPA'nın uzaysal ve temporal rezolusyonunun belirgin olarak üstün olduğu bulunmuştur. PE tanısının belirlenmesinde Coche ve arkadaşlarının yapmış olduğu çalışmada MDBTPA'nın duyarlılığı %96 ve özgüllüğü %98 olarak bildirilmiştir(36). Son çalışmalar izole subsegmental tromboembolilerin gösterilmesinde MDBTPA uygun bir tanı yöntemi olduğunu belirtmektedir(36,38). Son yıllarda yapılan bir hayvan deneyinde pulmoner anjiografi ve MDBTPA karşılaştırılmıştır(39). Pulmoner emboli teşhisinde duyarlılık ve özgüllük arasında anlamlı bir fark saptanamamıştır. Bu çalışmada iki tetkikinde duyarlılığı % 87 olarak bulunmuştur. Bu çalışma gibi invitro çalışmalar yeni araştırma modellerinin gelişmesi açısından önemli bilgiler sunmaktadır.

### **Manyetik Rezonans Görüntüleme**

Bu yöntem özellikle iyodlu kontrast madde enjekte edilmeden, pulmoner kateter anjiografisine benzer şekilde görüntü sağlar. Spiral BT'de olduğu gibi segmenter arterlerin periferindeki tikanmalarda duyarlılığı giderek azalır. Özellikle inferior vena kava ve iliak venlerin trombozlarının tanısında ultrasonografiden üstündür(40).

### **Pulmoner Anjiografi**

PE tanısı için en spesifik inceleme yöntemi, selektif

pulmoner anjiografidir. Anjiografiye başvurmadan önce klinik olarak PE'den şüphelenilen hasta, klinik değerlendirme ve noninvazif tanı yöntemleri ile değerlendirilmış olmalıdır.

Klinik şüphenin hala devam etmesine karşılık, noninvazif testlerin tedaviye başlama karar verilmesinde yeterli olmadığı olgularda kullanılmalıdır. Başlıca endikasyonu: V/P sintigrafisinin orta veya düşük olasılıklı sonuçlandığı, DVT için yapılan ultrasonografinin negatif olduğu, buna karşılık orta veya yüksek klinik olasılığın bulunduğu hasta grubudur. Anjiografiden ayrıca masif emboli olgularında embolektomi veya kateter ile pıhtı parçalanması ve trombolizis gibi primer tedavilere karar verilmesinde yararlanılır. Özellikle periferik embolilerde yanlış negatif tanı şansı vardır. Pulmoner anjiografinin subsegmental embolilerde duyarlılığı düşmektedir.

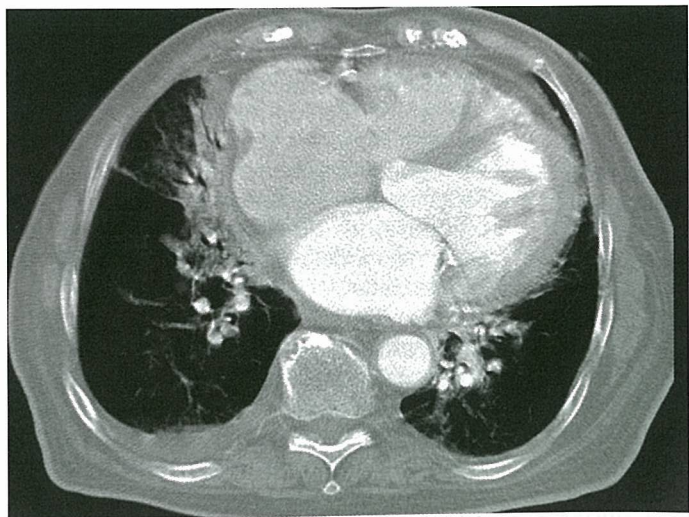
Özellikle subsegmental embolilerde yorumcular arasında uyum %13-66 arasında değişmektedir<sup>(41,43)</sup>. Akciğer kanseri, kardiyak aritmi ve bronşektazi varlığında yanlış pozitif sonuçlar alınabilir. Pulmoner hipertansiyonlu hastalarda konvansiyonel kontrast maddeler yerine düşük osmolariteli kontrastların kullanılması, toksik etkiyi azaltmakta ve hasta konforunu artırmaktadır. Standart kontrast anjiografiler ile 1-2 mm çapındaki emboliler saptanabilmektedir. Pulmoner emboli tanısı birden fazla projeksiyonda intraluminar dolma defektinin görülmesi ile konulur. Kronik pulmoner emboliler, takayasu arteriti, anjiosarkom ve sarkoidoz durumlarında da pulmoner arterlerde dolma defekt veya ani kesilmeler görülebilir. 16. Pulmoner anjiografi %0.5-1.3 mortalite ve %2 civarında major komplikasyon riskine sahiptir<sup>(44,45)</sup>.

## ÖRNEK OLGULAR



Resim 1A

Resim 1B

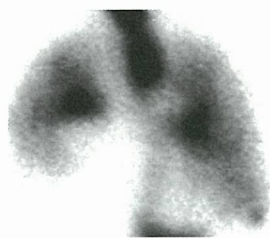


Resim 1C

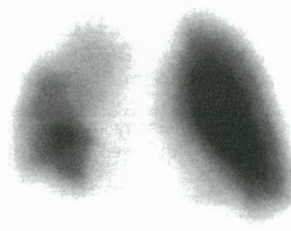
**OLGU 1:** V-P sintigrafisi orta olasılıklı olan hastanın MDBTPA'sında sağ orta lob medialde pnemonik konsolidasyon alanı tespit edildi. Pulmoner arter ve dallarında tromboemboli izlenmedi. Klinik izlem sonunda tanı pnöromoni olarak konuldu.

**Resim 1. A-B)** V-P sintigrafisinde bilateral akciğer perfüzyon ve ventilasyonunda irregüler görünüm. Sol akciğer alt lobta diffüz hipoperfüzyon, üst lob apikal posterior segmentte küçük subsegmenter perfüzyon defekti. Sağ akciğerde multipl nonsegmenter hipoperfüze alanlar ve bunlarla uyumlu ventilasyonda defektlər.

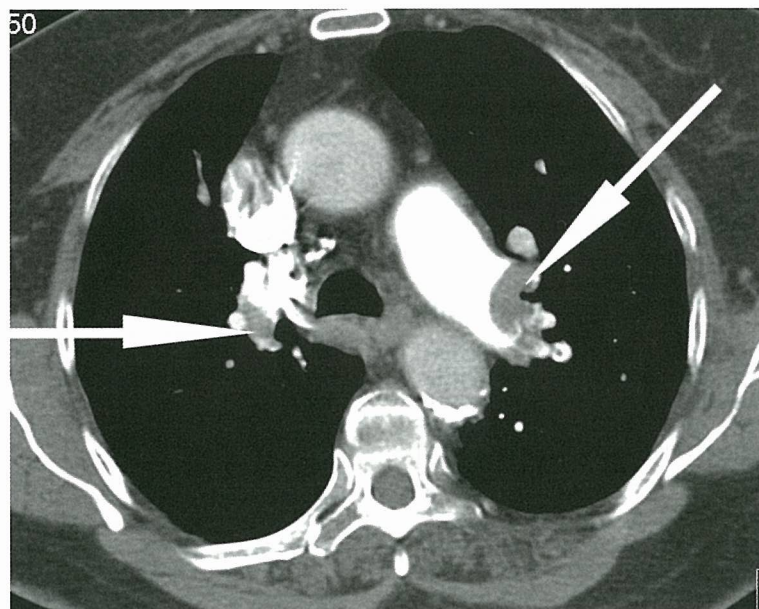
**C)** MDBTPA'da sağ akciğer orta lob medial segmentte içerisinde hava bronkopramları bulunan konsolidasyon alanı (ok).



Resim 2A



Resim 2B



Resim 2C

**OLGU 2:** V-P sintigrafisi orta olasılıklı hastanın MDBTPA'da bilateral yaygın tromboemboli izlenmesi üzerine PE tanısı aldı.

**Resim 2. A)** Perfüzyon sintigrafisinde sağ akciğerde perfüzyon genel olarak azalmış ve aktivite dağılımı inhomojendir. Üst lob apikal ve anterior segmentlerde orta büyüklükte, alt lob posterior ve anterior basal segmentlerde küçük subsegmenter perfüzyon defektleri izlenmektedir. Sol akciğer perfüzyonu homojendir. B) Ventilasyon sintigrafilerinde perfüzyon defektleriyle uyumlu defektler. C) MDBTPA'da her iki ana pulmoner arter distalinde ve lobar arterlerde yaygın tromboembolik görünüm (oklar).

**KAYNAKLAR**

1. Moser KM. Venous thromboembolism. Am Rev Res Dis 1990; 141:235-249.
2. Henschke CL, Mateescu I, Yankelevitz DE. Changing practice pattern in the workup of pulmonary embolism. Chest 1995; 107:940-945.
3. Goodman LR, 1999 plenary session: Friday imaging symposium: CT diagnosis of pulmonary embolism and deep venous thrombosis. Radiographics 2000; 20: 1201-1205
4. Peterson KL. Acute pulmonary thromboembolism: Has its evolution been redefined? Circulation 1999; 99:1280-1283
5. Arseven O: Akut Pulmoner Embolizm. Türktaş H, Ekim N (Editörler). Göğüs Hastalıkları Acilleri. Ankara: Bilimsel Tıp Yayınevi, 2000:247-262
6. Worsley DF, Alavi A. Comprehensive analysis of the results of the PIOPED study. J Nucl Med 1995; 36:2380-2387
7. Remy-Jardin M, Remy J, Deschildre F, et al. Diagnosis of pulmonary embolism with spiral CT: comparison with pulmonary angiography and scintigraphy. Radiology 1996;200:699-706
8. Ghaye B, Szapiro D, Mastora I, et al. Peripheral pulmonary arteries: how far in the lung does multi-detector row spiral CT allow analysis? Radiology 2001;219:629-636
9. Davitson BL, Elliot CG, Lensing AWA. Low accuracy of color Doppler ultrasound in the detection of proximal leg vein thrombosis in asymptomatic high-risk patients. Ann Intern Med 1992 117:735-738.
10. Lensing AWA, Prandoni P, Brandjes D, ve ark. Detection of deep vein thrombosis by real-time B-mode ultrasonography. N Engl J Med 1989;320:342.
11. Wells PS, Lensing AWA, Davidson BL, ve ark. Accuracy of ultrasound for the diagnosis of deep venous thrombosis in asymptomatic patients after orthopedic surgery: A meta analysis. Ann Intern Med 1995;122:47.
12. Brown H, Hiett A. Deep vein thrombosis and pulmonary embolism. Clin Obstet Gynecol 1996;39:87.
13. Bounameaux H, Moerloose P, Perrier A, Reber G. Plasma measurement of D-Dimer as diagnostic aid in suspected venous thromboembolism. An overview. Thromb Haemost 1994;71:1.
14. Goldhaber SZ, Simons GR, Elliot CG, et. all.. Quantitative plasma D-Dimer levels among patients undergoing pulmonary angiography for suspected pulmonary embolism. JAMA1993;270:2819.
15. Wells PS, Anderson DR, Rodger M, Dreyer JF, Barnes D, Forgie M, Kovacs G, Ward J, Kovacs MJ. Excluding pulmonary embolism at the bedside without diagnostic imaging: management of patients with suspected pulmonary embolism presenting to the emergency department by using a simple clinical model and d-dimer. Ann Intern Med 2001;135:98-107.
16. Wells PS, Anderson DR, Rodger M, Ginsberg JS, Kearon C, Gent M, Turpie AG, Bormanis J, Weitz J, Chamberlain M, Bowie D, Barnes D, Hirsh J. Derivation of a simple clinical model to categorize patients probability of pulmonary embolism: increasing the models utility with the SimpliRED D-dimer. Thromb Haemost 2000;83:416-20.
17. Stein PD, Terrin ML, Hales CA, et all. Clinical, laboratory, reontgenographic and electrocardiographic findings in patient with acute pulmonary embolism and no preexisting cardiac or pulmonary disease.Chest 1991;100:598-603.
18. Goldhaber SZ. Pulmonary embolism. In: Braunwald E, ed. Heart Diseases. 5th edition,W.B. Saunders, Philadelphia, 1997:1582-1603.
19. Kasper W, Geibel A, Tiede N. Distinguishing between acute and subacute massive pulmonary embolism by conventional and doppler echocardiography. Br Heart J 1993;70:352.
20. Krivec B, Voga, Zuran I, ve ark.Diagnosis and treatment of shock due to massive pulmonary embolism. Approach with transesophageal echocardiography and intrapulmonary thrombolysis. Chest 1997;112:1310 1316.
21. Goldhaber SZ, Skibo L. Diagnosis of acute pulmonary embolism. In: Braunwald E, Goldhaber SZ, et all., eds. Atlas of heart diseases. Vol III, Cardiopulmonary diseases and cardiac tumors. Philadelphia, Current Medicine, 1995:2-10.
22. Fredin H, Arborelius M. Scintigraphic evaluation of pulmonary embolism after total hip replacement, using a dry 99mTcmicroaerosol for regional ventilation. Eur J Nucl Med 1982; 7:494-499.
23. The PIOPED investigators. Value of the ventilation/perfusion in acute pulmonary embolism: Results of the prospective investigation of pulmonary embolism diagnosis (PIOPED). JAMA 1990;263:2753.
24. Ceydeli N. Radyolojik Görüntüleme Tekniği. İzmir: Duyal, 2000; 223-229.
25. Öyar O. Gülsöy Ufuk K. Tıbbi Görüntüleme Fiziği. Ankara: Tisamat Basım, 2003; 254-273.
26. Lomis NN, Yoon HC, Moran AG, Miller FJ. Clinical outcomes of patients after a negative spiral CT pulmonary arteriogram in evaluation of acute pulmonary embolism. J Vasc Interv Radiol 1999;10:707-712
27. Bourriot K, Couffignal T, Bernard V, Montaudon M, Bonnet J, Laurent F. Clinical outcome after a negative spiral CT pulmonary angiographic finding in an inpatient population from cardiology and pneumology wards. Chest 2003;123:359-365.
28. Goodman LR, Curtin JJ, Mewissen MW, et al. Detection of pulmonary embolism in patients with unresolved clinical and scintigraphic diagnosis: helical CT versus angiography. AJR 1995; 164:1369-1374.
29. Remy-Jardin M, Remy J, Wattinne L, et al. Central pulmonary thromboembolism: diagnosis with spiral volumetric CT with the single-breath-hold technique-comparison with pulmonary angiography. Radiology 1992; 185:381-387.
30. Coche E, Muller NL, Kim Ki, et al. Acute pulmonary embolism: ancillary findings at spiral CT. Radiology 1998; 207:753-758.
31. Drucker EA, Rivitz SM, Shepard JA. Acute pulmonary embolism: assessment of helical CT for diagnosis. Radiology 1998; 209:235-241.
32. Remy-Jardin M, Louvigny S, Remy J, et al. Acute central thromboembolic disease: posttherapeutic follow-up with spiral CT angiography. Radiology 1997; 203:173-180.
33. Austin JH, Muller NL, Friedman PJ, et al. Glossary of terms for CT of the lungs: recommendations of the Nomenclature Committee of the Fleischner Society. Radiology 1996; 200:327-331.
34. Fraser RS, Müller NL, Colman N, Pare PD. Thrombosis and Thromboembolism. in: Fraser RS, Müller NL, Colman N, Pare PD, eds. Diagnosis of disease of the chest. 4th ed. Philadelphia: W.B. Saunders company 1999:1773-1843.
35. Remy-Jardin M, Mastora I, Remy J. Pulmonary embolus imaging with multislice CT. Radiol Clin N Am 41 2003 507-519.
36. Coche E, Verschuren F, Keyeux A et al. Diagnosis of acute pulmonary embolism in outpatients: comparison of thin-collimation multi-detector row spiral CT and planar ventilation-perfusion scintigraphy. Radiology. 2003;229(3):757-65.
37. Schoepf UJ, Holzknecht N, Helmberger TK,et al. Subsegmental pulmonary emboli: improved detection with thin-collimation multi-detector row spiral CT. Radiology 2002; 222:483- 490.
38. Ghaye B, Szapiro D, Mastora I, et al. Peripheral pulmonary arteries: how far in the lung does multi-detector row spiral CT allow analysis? Radiology 2001; 219:629-636.
39. Baile EM, King GG, Muller NL, et al. Spiral computed tomography is comparable to angiography for the diagnosis of pulmonary embolism. Am J Respir Crit Care Med 2000;161:1010-1015.
40. Spritzer CE, Norconk JJ, Sostman HD, Coleman RE. Detection of deep venous thrombosis by magnetic resonance imaging. Chest 1993;104:54.
41. Blachere H, Latrabe V, Montaudon M, et al. Pulmonary embolism revealed on helical CT angiography: comparison with ventilation-perfusion radionuclide lung scanning. AJR2000; 174:1041-1047.
42. Gotway MB, Patel RA, Webb WR. Helical CT for the evaluation of suspected acute pulmonary embolism. Diagnostic pitfalls. J Comput Assist Tomogr 2000;24:267-273
43. Kavanagh EC, O'Hare A, Hargaden G, Murray JG. Risk of Pulmonary Embolism After Negative MDCT Pulmonary Angiography Findings. AJR 2004;182:499-504.
44. Gottschalk A, Stein PD, Henry JW, Relyea B. Can pulmonary angiography be limited to the most suspicious side if the contralateral side appears normal on the ventilation/perfusion lung scan? Chest 1996;110:392-394.
45. Stein PD, Athanasoulis C, Alavi A, Greenspan RH, ve ark. Complications and validity of pulmonary angiography in acute pulmonary embolism. Circulation 1992;85:462-468.